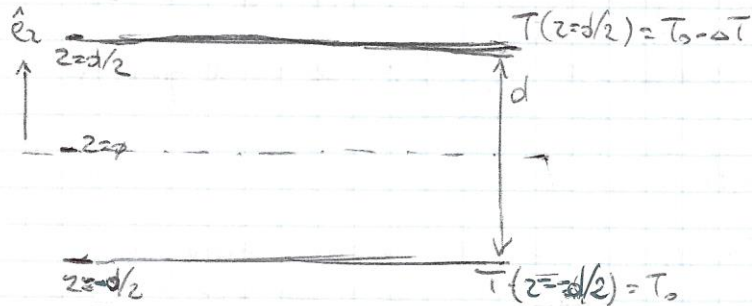


Instabilità di Rayleigh-Bénard

Studiamo il caso di un moto convettivo stazionario che si instaura quando uno strato piano di fluido ha un gradiente verticale di temperatura causato dal riscaldamento da sotto, per cui la temperatura della frontiera inferiore è a valle costante T_0 e quella della frontiera superiore è $T_0 - \Delta T$ (cfr. figura).



Entro un certo limite di gradiente di T , lo scambio termico avviene per sola conduzione, dunque il fluido è fermo ($\bar{J} = 0$) e le eq. di appross. di Boussinesq sono:

$$\begin{cases} -\frac{1}{\rho_0} \text{grad } p' - \beta T' g = 0 \\ \chi \frac{\partial^2 T}{\partial z^2} = \phi \end{cases} \quad \text{dove consideriamo che } T(z) = T_0 + T'(z) \quad p(z) = p_0 + p'(z)$$

con T' , p' le perturbazioni (rispetto ai valori omogenei) associate alla convezione.

In bordi del dominio $z = \pm d/2$ possono essere due parti rigide (per cui si ha una b.c. di no-slip) oppure interfacce con altri fluidi, per esempio un fluido più pesante sotto e uno leggero (aria) sopra, assimilabili anche a condizioni di free slip; finché in regime convettivo, ciò non è comunque rilevante, perché $J_{xz}, J_{yz}, J_{zz} \neq 0$ ovunque.

Abbiamo anche ragionevolmente attinto che in questo regime J sia dipendente di T, p solo dalla coordinate verticale.

Integrande l'eq. del calore, ha

$$T(z) = Az + B ; \quad \text{e.g. le b.c.}$$

$$\left. \begin{aligned} T(-d/2) &= T_0 = -Ad/2 + B \\ T(d/2) &= T_0 - \Delta T = Ad/2 + B \end{aligned} \right\} \Rightarrow \begin{aligned} 2T_0 - \Delta T &= 2B \Rightarrow B = \overline{T_0 - \Delta T/2} \\ \text{e sottraendo} \quad \Delta T &= -Ad \Rightarrow A = -\Delta T/d \end{aligned}$$

$$\text{ovvero } \bar{T}(z) = -\Delta T \frac{z}{d} + T_0 - \Delta T/2$$

$$\text{o meglio } \bar{T}(z) = T_0 - \frac{\Delta T}{d} (z + d/2) = \underline{T_0 - \Gamma(z+d/2)} \quad (\text{e volendo} \\ \text{n\'e segue } p(z))$$

con $\Gamma = \Delta T/d$ che darà la scala del gradiente di temperatura, anzi in questo caso essendo la decrescita lineare si può proprio dire $\Gamma = -\partial T/\partial z$ ($\forall z$).

Se ora consideriamo che per effetto del gradiente di \bar{T} si innescchi un moto convettivo, esso si rappresenta come ulteriore perturbazione $\bar{v}^u, \bar{T}^u, \bar{p}^u$ per cui le grandezze complessive saranno

$$\bar{v}(x, t) = \phi + \bar{v}^u(x, t)$$

$$\bar{T}(x, t) = T(z) + \bar{T}^u(x, t) \quad (\text{con } T(z) \text{ quella ricavata sopra} \\ \text{per il caso conduttivo})$$

$$\bar{p}(x, t) = p(z) + \bar{p}^u(x, t) \quad (\text{stesso})$$

sempre rispondenti alle eq. in appross di Boussinesq

$$\left\{ \begin{array}{l} \frac{\partial \bar{v}}{\partial t} + (\bar{v} \cdot \text{grad}) \bar{v} = -\frac{1}{\rho_0} (\text{grad } p^u + \bar{p}^u) - \beta (T' + \bar{T}^u) \bar{g} + \nu \nabla^2 \bar{v} \\ \frac{\partial \bar{T}}{\partial t} + (\bar{v} \cdot \text{grad}) \bar{T} = \chi \nabla^2 \bar{T} \\ \text{div } \bar{v} = 0 \end{array} \right.$$

e sottraendovi le eq. per il caso conduttivo si ha il sistema per la perturbazione convettiva:

$$\left\{ \begin{array}{l} \frac{\partial \bar{v}^u}{\partial t} + (\bar{v}^u \cdot \text{grad}) \bar{v}^u = -\frac{1}{\rho_0} \text{grad } p^u - \beta \bar{T}^u \bar{g} + \nu \nabla^2 \bar{v}^u \\ \frac{\partial \bar{T}^u}{\partial t} + (\bar{v}^u \cdot \text{grad}) (T_0 - \Gamma(z+d/2) + \bar{T}^u) = \chi \nabla^2 \bar{T}^u \\ \text{div } \bar{v}^u = 0 \end{array} \right. \quad \hookrightarrow = -\Gamma v_2^u + (\bar{v}^u \cdot \text{grad}) \bar{T}^u$$

Questo si può linearizzare eliminando i termini di ordine superiore al primo (cioè: $(\bar{v}^u \cdot \text{grad})$), considerando piccole perturbazioni:

$$\left\{ \begin{array}{l} \frac{\partial \bar{v}^u}{\partial t} = -\frac{1}{\rho_0} \text{grad } p^u - \beta \bar{T}^u \bar{g} + \nu \nabla^2 \bar{v}^u \\ \frac{\partial \bar{T}^u}{\partial t} - v_2^u \Gamma = \chi \nabla^2 \bar{T}^u \\ \text{div } \bar{v}^u = 0 \end{array} \right.$$

Si può manipolare l'eq. di Boussinesq con obiettivo di eliminare il termine $\text{grad } p^u$. Applicando

il laplaciano alla componente z dell'eq. s'ha

$$\frac{\partial}{\partial t} \nabla^2 v_2'' = -\frac{1}{\rho_0} \frac{\partial^2 p''}{\partial z^2} + \beta g \nabla^2 T'' + \nu \nabla^4 v_2''$$

mentre applicando all'eq. di Boussinesq la divergenza si ottiene

$$\frac{\partial}{\partial t} \operatorname{div} \bar{J}'' = -\frac{1}{\rho_0} \frac{\partial^2 p''}{\partial z^2} + \beta g \frac{\partial T''}{\partial z} + \nu \nabla^2 (\operatorname{div} \bar{v}'')$$

da cui $-\frac{1}{\rho_0} \frac{\partial^2 p''}{\partial z^2} = -\beta g \frac{\partial T''}{\partial z}$ e $\Rightarrow -\frac{1}{\rho_0} \frac{\partial^2 p''}{\partial z^2} = -\beta g \frac{\partial^2 T''}{\partial z^2}$ che renderà nell'eq.

per la componente z dà

$$\frac{\partial}{\partial t} \nabla^2 v_2'' = \beta g \left(\nabla^2 T'' - \frac{\partial^2 T}{\partial z^2} \right) + \nu \nabla^4 v_2''$$

Definendo $\nabla_H^2 = \nabla^2 - \frac{\partial^2}{\partial z^2} = \nabla^2 / \rho_0 + \beta g / \nu z^2$ operatore laplaciano "orizzontale",

$$\boxed{\frac{\partial}{\partial t} \nabla^2 v_2'' = \beta g \nabla_H^2 T'' + \nu \nabla^4 v_2''}$$

Le b.c. per la perturbazione ora devono considerare esplicitamente una interfaccia ben determinata perché c'è una velocità. Consideriamo no-slip su pareti rigide. Dunque

$$T''(x, y, z = \pm d/2)$$

$$\bar{J}''(x, y, z = \pm d/2) = 0 \quad (v_2 = \phi : \text{no penetration}; v_x = v_y = 0 : \text{no slip})$$

ma poiché anche $\operatorname{div} \bar{J}'' = 0$ $\forall x, y$ e $v_x = v_y = 0$ in $z = \pm d/2 \quad \forall x, y$,

$$\Rightarrow \operatorname{div} \bar{J}'' \Big|_{z=\pm d/2} = \frac{\partial v_2''}{\partial z} \Big|_{z=\pm d/2} = 0$$

Complessivamente le b.c. sono dunque $T'' = v_x'' = v_y'' = v_z'' = \frac{\partial v_2''}{\partial z} = 0 \quad \text{in } z = \pm d/2$.

Prima di giungere a un'ipotesi di soluzione poniamo alle eq. in forma dimensionale. Dal confronto del termine adattivo e di $\nabla^2 T''$ nell'eq. del calore si può avere una scala di velocità:

$$v_2'' \sim X \nabla^2 T''$$

$$v_2'' \frac{\Delta T}{d} \sim X \frac{1}{d^2} \Delta T \Rightarrow v_2'' \sim X/d$$

e similmente si ricava una scala temporale dal confronto:

$$\frac{\partial T''}{\partial t} \sim X \nabla^2 T''$$

$$\frac{\Delta T}{d^2} \sim X \frac{\Delta T}{d^2} \Rightarrow \Delta T \sim d^2/X$$

stingue normalizziamo ottenendo quantità obbligatoriamente

$$w = V_2''/(X/d)$$

$$t_p = t/(d^2/X)$$

$$T_p = T''/\Delta T$$

$$\bar{x}_p = \bar{x}/d$$

e così anche operazioni differenziali normalizzati

$$\partial/\partial x_{ip} = d \cdot \partial/\partial x_i$$

$$\nabla_p = d \cdot \nabla ; \quad \nabla_p^2 = d^2 \nabla^2 ; \quad \nabla_{H_p}^2 = d^2 \nabla_H^2$$

Nel seguito per semplicità di notazione omettiamo sempre il pedice "p", ricordando che si lavora con sole quantità isolate. La normalizzazione procede stessa come segue:

$$\textcircled{*} \quad \frac{X_2}{d^2} \cdot \frac{t}{d} \cdot \frac{X}{d} \frac{\partial}{\partial t} \nabla^2 w = \beta g \frac{1}{d^2} \Delta T \nabla_H^2 T + \frac{v}{d^4} X \nabla^2 w$$

$$\Rightarrow \frac{X^2}{d^3} \frac{\partial}{\partial t} \nabla^2 w = \beta g \Delta T \nabla_H^2 T + \frac{vX}{d^3} \nabla^4 w \quad \text{che moltiplicato per } d^3/X^2 \text{ dà}$$

$$\frac{\partial}{\partial t} \nabla^2 w = \left(\frac{\beta g \Delta T d^3}{X^2} \right) \nabla_H^2 T + \left(\frac{v}{X} \right) \nabla^4 w \rightarrow P_r$$

$$\frac{\beta g \Delta T d^3}{X^2} = \frac{\beta g \Delta T d^3}{X^2} \cdot \frac{v}{X} = Ra \cdot Pr$$

$$\Rightarrow \boxed{\frac{\partial}{\partial t} \nabla^2 w = Pr (Ra \nabla_H^2 T + \nabla^4 w)} \quad \text{oppure}$$

$$\boxed{\left(\frac{1}{Pr} \frac{\partial}{\partial t} - \nabla^2 \right) \nabla^2 w = Ra \nabla_H^2 T}$$

$$\textcircled{*} \quad \frac{X}{d^2} \frac{\Delta T}{d} \frac{\partial T}{\partial t} - \frac{X}{d} \nabla^2 w = X \frac{\Delta T}{d^2} \nabla^2 T \quad \text{che moltiplicato per } d^3/X \Delta T \text{ dà}$$

$$\frac{\partial T}{\partial t} = \frac{d^3}{X \Delta T d} \frac{\partial}{\partial t} \nabla^2 w + \nabla^2 T \quad \text{ovvero, dato } \Gamma = \Delta T/d,$$

$$\boxed{\frac{\partial T}{\partial t} = \nabla^2 T + w} \quad \text{oppure} \quad \boxed{\left(\frac{\partial}{\partial t} - \nabla^2 \right) T = w}$$

$\textcircled{*}$ le bc. normalizzate risultano $T = w = \partial w / \partial z = \phi$ in $z = \pm 1/2$.

Facciamo un'ipotesi sulla forma generale della soluzione. Supponendo per una separazione delle variabili in una funzione della sola z per una delle altre variabili, diciamo

$$w(x, t) = \hat{w}(z) \exp(i kx + i m y + \sigma t) = \hat{w}(z) \exp(i \vec{k} \cdot \vec{x} + \sigma t)$$

$$T(x, t) = \hat{T}(z) \exp(i kx + i m y + \sigma t) = \hat{T}(z) \exp(i \vec{k} \cdot \vec{x} + \sigma t)$$

con $\vec{k} = (k_x, k_y, \phi)$ vettore d'onda, di ampiezza $K = (k_x^2 + k_y^2)^{1/2}$,

k_x, k_y reali, affinché la soluzione sia finita per $x, y \rightarrow \pm\infty$ (altrimenti si ha un esponentiale reale, e potenzialmente una divergenza).

In generale ammetto come numero complesso $\sigma = \sigma_{re} + i \sigma_{im}$; ciò significa che un $\sigma_{im} \neq 0$ comporta una funzione \exp immaginaria di spazio e tempo \Rightarrow oscillazione, mentre $\sigma_{re} \neq 0$ è un esponente reale nel tempo e cioè è un tasso di crescita ($\sigma_{re} > 0$) o di smorzamento ($\sigma_{re} < 0$). Per $\sigma_{re} = 0$ si ha il caso limite di stabilità marginale, ovvero uno stato stazionario ($\sigma_{im} = 0$) o di perturbazioni oscillazione che sono stabili, senza crescita né smorzamento ma persistenti ($\sigma_{im} \neq 0$).

Sostituiamo le ipotesi di soluzione nelle eq. del sistema; poiché

$$\frac{\partial^2 w}{\partial x^2} = -k_x^2 \hat{w}(z) \exp(\dots); \quad \frac{\partial^2 w}{\partial y^2} = -k_y^2 \hat{w}(z) \exp(\dots); \quad \frac{\partial^2 w}{\partial z^2} = \frac{d^2 \hat{w}}{dz^2} \exp(\dots)$$

e similmente per T , ricaviamo equazioni in \hat{w}, \hat{T} con operatori

$$\nabla^2 \rightarrow -k_x^2 - k_y^2 + \frac{d^2}{dz^2} = -K^2 + \frac{d^2}{dz^2}; \quad \nabla_H^2 \rightarrow -K^2$$

e allo stesso modo $\partial \sigma / \partial t \rightarrow 0$

$$\Rightarrow \begin{cases} \left(\frac{1}{Pr} + K^2 - \frac{d^2}{dz^2} \right) \left(K^2 - \frac{d^2}{dz^2} \right) \hat{w}(z) = Ra K^2 \hat{T}(z) \\ \left(\sigma + K^2 - \frac{d^2}{dz^2} \right) \hat{T}(z) = \hat{w}(z) \\ + b.c. \quad \hat{w} = d\hat{w}/dz = \hat{T} = 0 \quad \text{in } z = \pm 1/2 \end{cases}$$

Si può verificare* che i valori di $Ra > 0$ corrispondono a puntelli, dunque non ci sono soluzioni oscillatorie nel problema trattato, ma solo divergenti, smorzate o, nel caso mar-

* cfr. S. Chandrasekhar, "Hydrodynamic and Hydrodynamic Stability", OUP (1961) o Dover (1981)
oppure P.G. Drazin, W.H. Reid, "Hydrodynamic Stability", Cambridge University Press (2004)
oppure P.K. Kundu, I.M. Cohen, "Fluid Mechanics", Academic Press (seconda ed. 2001 più recenti)

ginalmente stabile $\Gamma_{\text{re}} = \Gamma = \emptyset$, soluzione stationaria. Ricordiamo che qui vogliamo appunto indagare questo tipo di possibilità e ponendo $\Gamma \neq \emptyset$ otteriamo le eq. semplificate

$$\left(k^2 - \frac{d^2}{dz^2} \right)^2 \hat{w}(z) = Ra k^2 \hat{T}(z)$$

$$\left(k^2 - \frac{d^2}{dz^2} \right) \hat{T}(z) = \hat{w}(z)$$

e infilandosi $\hat{T}(z)$ dalla prima eq. nella seconda si ricava

$$\begin{cases} \left(k^2 - \frac{d^2}{dz^2} \right)^3 \hat{w}(z) = Ra k^2 \hat{w}(z) \\ + \text{b.c. } \hat{w} = d\hat{w}/dz = \left(\frac{d^2}{dz^2} - k^2 \right)^2 \hat{w}(z) = \emptyset \end{cases} \quad \text{che espone la b.c. } \hat{T}(\pm 1/2) = \emptyset$$

Abbiamo dunque un'equazione differenziale omogenea del terzo ordine, un'eq. agli autovalori la cui soluzione è legata a Ra e k o meglio espone un legame tra Ra e k [i coefficienti nella soluzione, al solito, saranno determinati imponendo le b.c. specificate (che sono, coerentemente, in numero di 8); ricordiamo che questa è la soluzione di stabilità marginale, ovvero quel che troviamo come legame $Ra(k)$ è un valore che delimita, chiamato R_c , i valori di Ra per cui il fenomeno è stabile ($Ra < R_c$ nel valore trovato come $Ra(k)$) o instabile ($Ra >$, e quindi inizia l'instabilità). Questa relazione $Ra(k)$ ha un minimo, che indica il vibra critico R_{ac} , corrispondente a un certo modo k_{cr} del vettore d'onda \vec{k} , al quale inizia l'instabilità, cioè si sostiene ($Ra = R_{ac}$) o si amplifica ($Ra > R_{ac}$) una perturbazione anche infinitesima nel fluido che vibra come sali di lunghezza orizzontale k_{cr} (numero d'onda critico). Aumentando Ra , si amplia la gamma di numeri d'onda (lunghezze d'onda) secondo cui possono crescere le perturbazioni dei campi di velocità e temperatura.

La forma delle autofunzioni $\hat{w}(z)$ è soggetta alla simmetria del problema rispetto al piano $z = \emptyset$; dunque la soluzione è una composizione di autofunzioni che sono: simmetriche rispetto a $z = \emptyset$ (classe di autofunzioni pari) e di autofunzioni antisimmetriche rispetto a $z = \emptyset$ (classe di autofunzioni dispari in z).

la forma generale della soluzione si può scrivere come composizione di funzioni dalla forma

$$\hat{w}(z) = \exp(\pm qz)$$

dove $q \in \mathbb{C}$ sono le radici dell'eq. algebrica ottenuta sostituendo la forma ipotizzata nell'eq.

$$(h^2 - \frac{d^2}{dz^2})^3 \hat{w}(z) = Ra h^2 \hat{w}(z) \rightarrow (h^2 - q^2)^3 = Ra h^2;$$

chiamando $\tau^3 = Ra/h^4$ le tre soluzioni per q^2 , delle $q_0^2 \in \mathbb{R}$, q_1^2 e $q_2^2 = q_1^{2*}$ sono

$$q_0^2 = -h^2(\tau - 1)$$

$$q_{1,2}^2 = h^2 \left[1 + \frac{1}{2} \tau (1 \pm i\sqrt{3}) \right]$$

da cui le sei radici sono infine

$$\pm iq_0 \pm \pm i(q_1^2)^{\frac{1}{2}}$$

$$\pm q = \pm (q_1^2)^{\frac{1}{2}}$$

$$\pm q^* = \pm (q_2^2)^{\frac{1}{2}} = \pm (q_1^{2*})^{\frac{1}{2}}$$

a) Le soluzioni di tipo fini si possono scrivere come

$$\begin{aligned} \hat{w}(z) &= \alpha_0 [\exp(iq_0 z) + \exp(-iq_0 z)] + \alpha [\exp(qz) + \exp(-qz)] + \alpha^* [\exp(q^* z) + \exp(q^* z)] = \\ &= A \cos(q_0 z) + A \cosh(qz) + A^* \cosh(q^* z) \end{aligned}$$

con $A_0 \in \mathbb{R}$; $A, A^* \in \mathbb{C}$ costanti da determinare imponendo le b.c.

$$\left\{ \begin{array}{l} \hat{w}(\pm \frac{1}{2}) = \phi \rightarrow A_0 \cos(q_0/2) + A \cosh(q/2) + A^* \cosh(q^*/2) = \phi \\ \frac{d\hat{w}}{dz}|_{\pm \frac{1}{2}} = \phi \rightarrow -A_0 q_0 \sin(q_0/2) + A q \sinh(q/2) + A^* q^* \sinh(q^*/2) = \phi \\ \left. \left(\frac{d^2\hat{w}}{dz^2} - h^2 \right) \right|_{\pm \frac{1}{2}} = \phi \rightarrow A_0 (q_0^2 + h^2) \cos(q_0/2) + A (q^2 + h^2) \cosh(q/2) + A^* (q^{*2} + h^2) \cosh(q^*/2) = \phi \end{array} \right.$$

C. noti che \hat{w} è una somma di funzioni tutte pari, \Rightarrow le b.c. in $z = \pm \frac{1}{2}$ o $z = -\frac{1}{2}$ danno la stessa condizione in realtà). Mette in forma un sistema lineare omogeneo per $\bar{A} = [A_0; A; A^*]$

$$\underline{\underline{M}} \bar{A} = \phi \text{ con } \underline{\underline{M}} = \begin{bmatrix} \cos(q_0/2) & \cosh(q/2) & \cosh(q^*/2) \\ -q_0 \sin(q_0/2) & q \sinh(q/2) & q^* \sinh(q^*/2) \\ (q_0^2 + h^2)^2 \cos(q_0/2) & (q^2 + h^2)^2 \cosh(q/2) & (q^{*2} + h^2)^2 \cosh(q^*/2) \end{bmatrix}$$

per avere una soluzione non banale ($\bar{A} = \phi$) si deve richiedere $\det(\underline{\underline{M}}) = \phi$, che risulta un'eq. trascendente con risoluzione numerica; la cosa essenziale, come già detto,

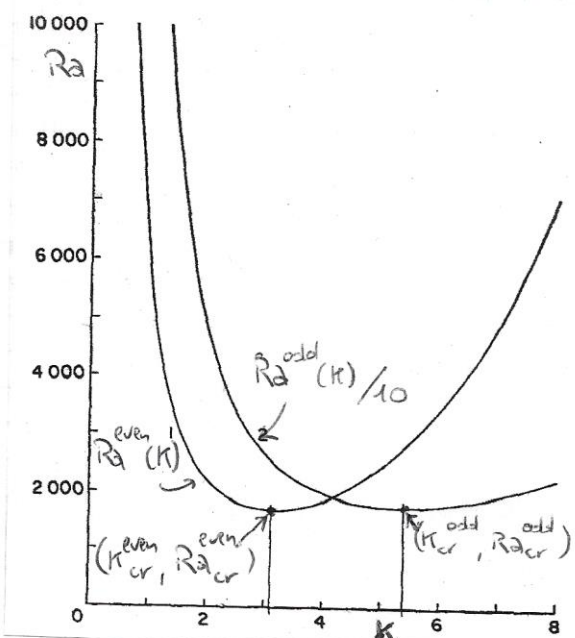
è che la soluzione dell'eq. risulta una relazione $Ra(K)$, curva che delimita le regioni di stabilità e instabilità. Il minimo della curva si ha per i valori critici

$$Ra_{cr} = 1707.762, \quad K_{cr} = 3.117 \quad \Rightarrow \lambda_{cr} = 2\pi d/K_{cr} = 2.016 \text{ d}$$

b) Le soluzioni di tipo dispari, in maniera analoga, si scrivono nella forma

$$\hat{W}(z) = A \sin(q_1 z) + A \sinh(q_2 z) + A^* \sinh(q_2^* z)$$

Il procedimento per determinare la soluzione è fatto alla stessa maniera; esso porta ad un'altra relazione $Ra(K)$ con un minimo a valore molto maggiore di Ra ($Ra_{cr}^{odd} \approx 10 R_{cr}^{even}$), detto in altre parole, come intuibile il modo fondamentale è il più basso modo pari, con auto-funzione simmetrica rispetto a $z=\frac{d}{2}$ e senza nodi nel dominio $z \in (-d/2, d/2) \rightarrow$ la velocità verticale si annulla solo agli estremi. Si ha dunque una sola serie di celle convettive affiancate con periodicità orizzontale λ_{cr} (per il primo modo dispari ci sarebbero due strati verticali di celle).

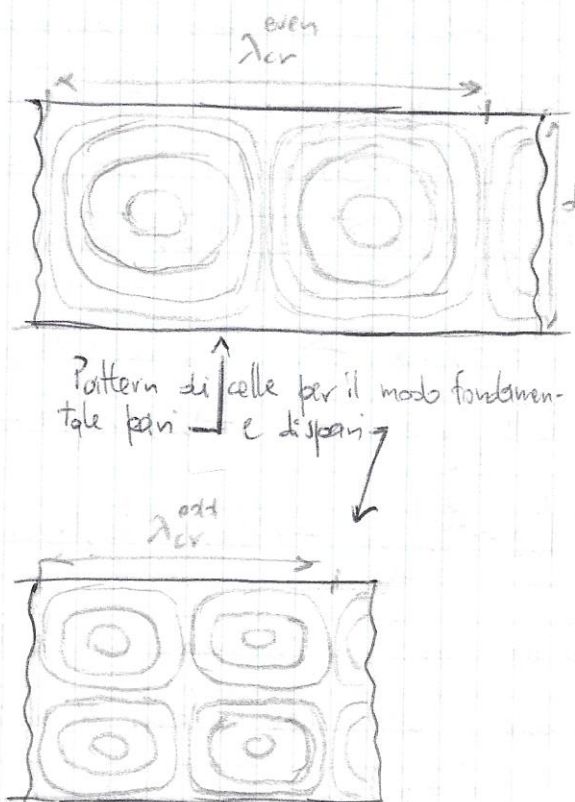


Curve $Ra(K)$ di stabilità marginale per il primo modo pari e dispari. La curva del modo dispari è riscalata di un fattore 10.
Valori critici:

$$K_{cr} = 3.117, \quad Ra_{cr} = 1707.762 \quad (\text{pari})$$

$$K_{cr} = 5.365, \quad Ra_{cr} = 17610.33 \quad (\text{dispari})$$

[Fonte: W.H. Reid, D.L. Harris, "Some Further Results on the Benard Problem", Phys. Fluids 1, 102 (1958)]



Consideriamo anche, visto che solitamente è di soluzione più agevole (addirittura analitica), il caso di condizioni di free slip sulle superfici $z = \pm d/2$, ovvero assenza di attrito. Le b.c. si formalizzano come

$$v_z''(\pm d/2) = \phi; \quad T''(\pm d/2) = \phi; \quad \mu \left(\frac{\partial v_x''}{\partial z} + \frac{\partial v_y''}{\partial x} \right) \Big|_{z=\pm d/2} = \phi; \quad \mu \left(\frac{\partial v_y''}{\partial z} + \frac{\partial v_x''}{\partial y} \right) \Big|_{z=\pm d/2} = \phi$$

ma poiché $v_z''(x, y, \pm d/2) = \phi \Rightarrow \frac{\partial v_x''}{\partial z} = \frac{\partial v_y''}{\partial z} = \phi$ in $z = \pm d/2$

\Rightarrow le b.c. sugli sfondi di taglio si riducono a $\frac{\partial v_x''}{\partial z} = \frac{\partial v_y''}{\partial z} = \phi$ in $z = \pm d/2$, derivando in z la condizione $\operatorname{div} \vec{V}'' = \phi$,

$$\frac{\partial^2 v_x''}{\partial z^2} + \frac{\partial^2 v_y''}{\partial z \partial y} + \frac{\partial^2 v_z''}{\partial z^2} = \phi \Rightarrow \text{in } z = \pm d/2 \quad \frac{\partial^2 v_z''}{\partial z^2} = \phi$$

e infine le b.c. del sistema normalizzato sono

$$\hat{w} = (d^2/dz^2 - h^2)^2 w = d^2 \hat{w} / dz^2 = \phi \quad \text{in } z = \pm d/2$$

ma si noti che $\left(\frac{d^2}{dz^2} - h^2 \right)^2 \hat{w} \Big|_{\pm d/2} = \phi$, svolta, porta ad $\frac{d^4 \hat{w}}{dz^4} \Big|_{\pm d/2} = \phi$; se si applica ancora

d^2/dz^2 si ha che anche $d^6 \hat{w} / dz^6 \Big|_{\pm d/2} = \phi$ e così portate le derivate pari di \hat{w} in $z = \pm d/2$.

Però si deve concludere che le auto-funzioni di

$$\left(\frac{d^2}{dz^2} - h^2 \right)^3 \hat{w}(z) = R_3 h^2 \hat{w}(z)$$

avendo valore e derivate pari $= \phi$ agli estremi, sono del tipo

$$\hat{w}(z) = A \sin(n \pi z), \quad \text{con } A \text{ costante e } n \text{ intero,}$$

forma che, sostituita nell'eq. differenziale, fornisce l'eq. algebrica

$$(h^2 + n^2 \pi^2)^3 = R_3 h^2 \Rightarrow \boxed{R_3 = \frac{(h^2 + n^2 \pi^2)^3}{h^2}}$$

Il valore critico R_{3cr} , essendo il minimo, si deve avere per il modo fondamentale $n=1$ e si determina annullando la derivata prima di R_3 in $h^2(0, h)$:

$$\frac{d}{dh^2} R_3 = \frac{3(h^2 + n^2 \pi^2)^2}{h^2} - \frac{(h^2 + n^2 \pi^2)^3}{h^4} = \phi$$

$$\Rightarrow 3h^2 - h^2 + n^2 h^2 = \phi \Rightarrow h^2 = n^2 \pi^2 / 2;$$

con $n=1$, si ha $H_{cr} = \pi/\sqrt{2}$ ($\lambda_{cr} = 2\pi d / H_{cr} = 2\sqrt{2}d$)

$$\text{e } R_{3cr} = (\pi^2/2 + \pi^2)^3 / (\pi^2/2) = \frac{27}{4} \pi^4 = 657.54$$

Se vogliamo pensare al caso misto con un boundary sliso (per esempio sotto) e uno libero (sopra), osserviamo che i modi d'onda del caso a b.c. di no-slip soddisfano le condizioni miste se prendiamo $z = -\frac{1}{2}$ e $z = \frac{1}{2}$, rispettivamente, cioè possiamo prendere quel risultato considerando uno strato di spessore dimezzato; date le dipendenze $R_a \propto 1/d$, $R_b \propto d^4$, si ricavano direttamente i valori critici:

$$Ra_c = 5.365/2 = 2.682, \quad Ra_{cr} = 17610.39/2^4 = 1100.65$$

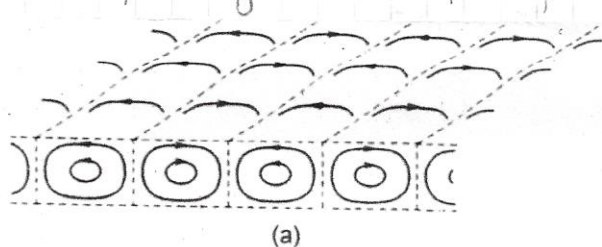
Qualche osservazione conclusiva.

* La tecnica così presentata è un'analisi lineare di stabilità; le osservazioni sperimentali hanno dato risultati molto vicini alle predizioni teoriche, fatto tanto più vincente se appunto si considera che sono predizioni basate su una linearizzazione.

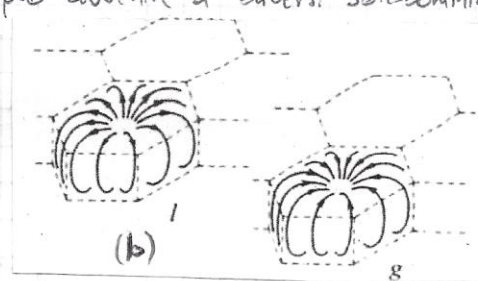
* Va ricordato che $H^2 = \ell^2 + m^2$, ovvero il numero d'onda si può scomporre tecnicamente in infiniti modi diversi nelle componenti x e y . Del resto non abbiamo risolto il problema per le componenti x e y del campo di velocità (e temperatura). Chi è interessato a completare la soluzione può trovare dettagli nei testi già citati di Chandrasekhar, di Drazin e Reid, o in quello di A.V. Gelfgant ("Rayleigh-Bénard Convection - Structure and Dynamics", World Scientific, 1988), qui ci limitiamo a riportare che si osservano casi in cui la struttura periodica è puramente bidimensionale (del tipo $x-z$, con invarianza in y): "2D roll";

- ⊕ a celle esagonali o quadrate nel piano xy .

L'insieme di una particolare struttura, o del verso in cui va il vettore velocità nelle celle dipende dalle caratteristiche del caso specifico, come le b.c. in x e y , il valore di R_a , la dipendenza delle proprietà del fluido (la viscosità, per esempio) dalla temperatura. Per esempio, come nella formazione e accrescimento di un cristallo si possono avere diverse zone in cui la stessa struttura è disposta lungo assi non paralleli (ci può avvenire a diversi sottodomini di roll).



(a)



(b)

Esempi di celle convettive: (a) roll bidimensionali; (b) celle esagonali di tipo L e g. Fonte: Gelfgant "Rayleigh-Bénard Convection"